

文章编号:1000-8551(2013)02-0240-07

抽穗后干旱复水对双季杂交晚稻产量形成和叶片 $\delta^{13}\text{C}$ 及内源激素水平的影响

陈小荣 刘灵燕 钟 蕾 朱昌兰 彭小松 贺晓鹏 傅军如 欧阳林娟 贺浩华

(作物生理生态与遗传育种教育部重点实验室/江西省作物生理生态与遗传育种重点实验室,
江西农业大学农学院,江西 南昌 330045)

摘要:为探明生育后期干旱复水对双季杂交晚稻不同产量潜力品种产量的影响及其形成的生理机制,选择超级稻品种五丰优T025和对照品种金优207,于抽穗后进行干旱8d复水处理,分析了2个品种结实和产量、干旱前后倒二叶稳定碳同位素组成($\delta^{13}\text{C}$)及内源激素含量的差异性。结果表明,干旱复水处理下2个品种水稻的结实率、千粒重及单株产量较对照(保持水层)表现出不同程度下降。其中,结实率五丰优T025和金优207分别下降12.07%和7.67%,千粒重下降5.23%和9.09%,单株产量下降13.54%和27.14%,差异均达显著或极显著水平,未发现产量补偿效应。抽穗后干旱处理下倒二叶 $\delta^{13}\text{C}$ 值,五丰优T025大幅上升,复水后呈现出先下降,至第6天又开始上升的特点,金优207则大幅下降,复水后呈现先上升后下降再上升的特点,五丰优T025较金优207干旱复水处理与对照之间的差距更大。总体上,对照条件下,抽穗至其后20d,随生育推进,2个品种倒二叶内源ABA和GA₃含量呈上升而IAA含量则下降趋势,ZR表现出先上升再下降特点。干旱处理下2个品种表现为ABA含量上升,复水后呈先下降后上升特点,五丰优T025较金优207处理与对照之间差距更大;干旱复水处理条件下:2个品种IAA含量均下降,五丰优T025处理与对照间的差距明显小于金优207;五丰优T025 GA₃含量表现出先上升后下降再上升,金优207表现出干旱处理结束日急剧下降至最低点,复水后缓慢上升特点;2个品种ZR含量呈现出先上升至最高值再下降特点,五丰优T025较金优207处理与对照之间差距更小。抽穗后干旱处理将启动稻株体内抗衰老机制,复水后将在一定程度一定时间内激活稻株体内生长促进因子并抑制生长抑制因子,但其效果十分有限。

关键词:双季杂交晚稻;不同产量潜力品种;抽穗期干旱复水;稳定碳同位素组成($\delta^{13}\text{C}$);内源激素

Effects of Rewatering after Drought at Heading on Yield, $\delta^{13}\text{C}$ and Contents of Endogenous Hormone of Leaf in Double-Season Late Hybrid Rice

CHEN Xiao-rong LIU Ling-yan ZHONG Lei ZHU Chang-lan PENG Xiao-song
HE Xiao-peng FU Jun-ru OUYANG Lin-juan HE Hao-hua

(Key Laboratory of Crop Physiology, Ecology, Genetics and Breeding, Ministry of Education, Key Laboratory of Crop Physiology, Ecology and Genetic Breeding of Jiangxi Province, College of Agronomy, Jiangxi Agricultural University, Jiangxi, Nanchang 330045)

Abstract: In this study, super rice variety WufengyouT025 and the control variety Jinyou207 were selected to drought 8 days after heading, then rewatered to explore effect of yield and its formative physiological mechanism under the treatment of rewatering after drought during the

收稿日期:2012-06-17 接受日期:2012-09-24

基金项目:国家自然科学基金项目(30860136),江西省科技支撑项目(2010BNA03600),江西省教育厅项目(GJJ10423),江西省领军人才培养计划项目“性状机能协调型”双季杂交稻的选育与应用

作者简介:陈小荣(1972-),男,江西樟树人,博士,教授,主要从事作物生理与遗传育种研究。Tel: 0791-83813142; E-mail: ccxxr80@163.com

late growth stage for the different yield potential double-season late hybrid rice varieties. The differences of the seed setting, yield, carbon isotopic compositions ($\delta^{13}\text{C}$) and endogenous hormone in the reciprocal second leaf during fore-and-aft drought of the two varieties were also analyzed. Results showed as follows: Compared to the CK (keeping water), seed-setting rate, 1000-grain weight and yield per plant of the two rice varieties presented diverse decline under the treatment of rewatering after drought stress. Among them, thereinto, seed setting rate of WufengyouT025 and Jinyou207 decreased by 12.07% and 7.67%, 1000-grain weight 5.23% and 9.09%, yield per plant 13.54% and 27.14%, respectively. All the differences were observed significantly and there was a lack of yield compensatory effect under the treatment of rewatering after 8-d drought at heading. Carbon isotopic compositions ($\delta^{13}\text{C}$) in the reciprocal second leaf under the treatment of drought at heading of WufengyouT025 greatly increased, decreased at first then began increasing at the 6d after rewatering, while that of Jinyou207 under the treatment of drought decreased greatly, increased at first then decreased, then increased, the distance between the treatment and the control of WufengyouT025 were higher than that of Jinyou207. Generally, under the condition of the CK from heading to 20 days, endogenous hormone in the reciprocal second leaf of the two varieties of ABA and GA₃ increased, IAA declined along with the growth course, while ZR increased at first then decreased. Under the treatment of drought of the two varieties, ABA increased, then decreased after rewatering, then increased, the distance between the treatment and the control of WufengyouT025 were higher than that of Jinyou207. Under the condition of the treatment of rewatering after drought, IAA of the two varieties all decreased, and the distance between the treatment and the control of WufengyouT025 was lower than that of Jinyou207, GA₃ of WufengyouT025 increased at first, then decreased after rewatering, then increased, while that of Jinyou207 decreased sharply and reached bottom at the end of the treatment of drought, and increased slowly after rewatering, ZR of the two varieties all increased and reached culmination, then decreased after rewatering, the distance between the treatment and the control of WufengyouT025 were lower than that of Jinyou207. The treatment of the drought at heading would promote the senescence resistant mechanism in the rice plant, and rewatering would activate the growth promoted factors and inhibited the growth restrained factors, but the effects were quite limited.

Key words: Double-season late hybrid rice; Different yield potential varieties; Rewatering after drought at heading; Carbon isotopic compositions ($\delta^{13}\text{C}$); Contents of endogenous hormone

杂交水稻,尤其是具有高产潜力的超级稻品种产量稳定性是长期困扰稻作界的科学难题^[1],而干旱胁迫是影响水稻稳产性一个极为重要的生态因子^[2,3]。前人对水稻旱害进行了大量研究,但以往研究一是多局限于干旱危害性及抗旱性角度,较少关注旱后复水对水稻生长的补偿效应,而研究表明水稻旱后复水补偿效应明显^[4-11];二是以往对水稻旱后复水的研究多集中于生育前中期^[4-8],而抽穗灌浆期是水稻对水分十分敏感期之一;三是以往对杂交水稻旱后复水的生长补偿效应没有从品种产量潜力差异的角度进行探讨;四是水稻旱后复水的生长补偿效应研究还只是停留在叶面积、干物质及产量形成等层面,十分有必要探讨水稻生育后期干旱复水的产量补偿效应及其形成的生理机制。据此,本研究选择产量潜力差异大的双季杂交晚稻超级稻品种五丰优T025和对照品种金优207,于抽穗后进行干旱8d至土壤发白开裂后复水处理,比较了2个品种产量及其构成因素的差异性,测定了干旱前后倒二叶稳定碳同位素组成($\delta^{13}\text{C}$)及内源激素(ABA、IAA、GA₃和ZR)含量,分析了其与产量形成的关系,以期为双季晚稻生育后期水分胁迫育种及防早衰的水分管理提供一些理论依据。

1 材料与方法

本试验于2011年在江西农业大学科技园试验田进行。

1.1 材料

2个供试水稻品种均为籼型杂交组合,生育进程及生育期较为接近。其中,五丰优T025:五丰A/昌恢T025,2010年通过国家审定,同年农业部认定为超级稻,多年多点观察发现产量性能优异,大田正常产量为8000kg·hm⁻²左右,高产田产量达11000kg·hm⁻²,在长江中下游作双季晚稻种植全生育期平均112.3d;金优207:金23A/R207,大田正常产量为7200kg·hm⁻²左右,高产田产量8200kg·hm⁻²,丰产性能低于五丰优T025,在江西南昌地区种植全生育期115d。

1.2 方法

采用桶栽方式,塑料桶高24cm,上部内径30cm,底部直径23.5cm。土壤取自稻田耕层土壤,晾晒粉碎,每盆风干土15kg,底肥施复合肥8g,分蘖期追施复合肥3g,每桶插秧3穴,每穴2株苗,6月20日播种,7月29日移栽。移栽后统一按高产栽培方式进行水分、病虫害管理。

1.2.1 试验设计 对2个品种设置水分胁迫及一直

保持水层2种处理,每处理重复4次,每重复8桶,随机区组排列。水分胁迫处理:水稻扬花后(9月16日)将桶内水倒掉并将白色薄膜盖于网室顶部防雨,进行干旱处理;另设一直保持水层的处理为对照(CK)。干旱处理组内安装2个真空表式土壤湿度计监测土壤含水量(中国科学院南京土壤研究所生产),埋设深度为陶土头中心距土表30cm。每天18:00读取数值,干旱处理第6天的土壤水势小于-80KPa(仪器量程为0~-80kPa),继续干旱直至土壤发白干裂后(干旱处理第8天)复水并将网室顶部白色薄膜撤除。成熟期收获并考种。

1.2.2 取样 水分胁迫前1d、水分胁迫最后1d、复水后第2天、复水后第4天及复水后第6天(分别以A、B、C、D、E表示),每品种每处理重复3次,用手术剪剪取新鲜倒二叶叶片。

1.3 指标测定

1.3.1 稳定碳同位素组成($\delta^{13}\text{C}$) 取样后于实验室用超纯水清洗叶片样品,自然晾干后在70℃下烘干48h,使样品完全干燥,粉碎,过100目筛使样品均一化。水稻叶片的 $\delta^{13}\text{C}$ 值测定在江西省南昌市东华理工大学核资源与环境教育部重点实验室用Flash-EA与MAT-253质谱仪联机进行测试,测试误差小于0.2‰。

1.3.2 内源激素含量 剪后快速称取0.5g叶片用液氮速冻,置于-80℃冰箱中保存,送中国农业大学用酶联免疫吸附法(ELISA)测定ABA(脱落酸),ZR(玉米素),IAA(吲哚乙酸),GA₃(赤霉素)4种内源激素含量。

1.3.3 产量及产量结构 每处理每重复取3桶,每桶

3株,共27株,测量穗长,考查每穗粒数、空粒数、千粒重,重复内取均值。计算结实率和单株产量。

1.4 统计分析

使用DPS和Microsoft Excel软件对有关数据进行分析和作图。

2 结果与分析

2.1 干旱复水下2个品种水稻产量及其构成的差异性

表1可看出,充分供水条件下超级稻品种五丰优T025结实率、千粒重和单株产量均高于对照品种金优207,但差异未达显著水平。抽穗后干旱复水对产量形成影响较大,2个品种结实率、千粒重及单株产量较一直保持水层的处理均表现出不同程度下降,其中结实率下降尤其明显,说明双季杂交晚稻生育后期保水对单产形成的重要性具有普遍意义。具体来看,五丰优T025与金优207的结实率在旱后复水和CK的差异均达极显著水平,旱后复水处理较CK分别下降12.07%和7.67%;千粒重也分别达极显著和显著水平,旱后复水处理较CK分别下降5.23%和9.09%;单株产量上,五丰优T025旱后复水处理与CK间差异显著,但未达极显著水平,金优207在2个处理间的差异则达极显著水平,旱后复水处理较CK分别下降13.54%和27.14%。结果表明抽穗后干旱复水条件下超级稻品种五丰优T025产量稳定性强于对照品种金优207,但总体上抽穗后干旱复水对双季杂交晚稻产量形成影响严重。

表1 干旱复水处理下2个品种水稻产量及其构成的差异性

Table 1 Yield and its component under the treatment of the rewetting after drought for the two rice varieties

品种 Variety	处理 Treatment	结实率 Seed-setting rate(%)	千粒重 1000-grain weight(g)	单株产量 Yield per plant(g)
五丰优 T025 WufengyouT025	干旱复水 rewetting after drought	77.02 ± 0.19bB	25.20 ± 0.65bB	25.21 ± 1.49bA
	CK	89.09 ± 1.57aA	26.59 ± 0.38aA	29.16 ± 1.41aA
金优 207 Jinyou207	干旱复水 rewetting after drought	73.76 ± 1.03bB	22.59 ± 1.36bA	20.72 ± 0.35bB
	CK	81.43 ± 0.33aA	24.85 ± 0.16aA	28.67 ± 1.53aA

注:小写和大写字母分别表示5%显著水平和1%极显著水平

Note: Small and big alphabet represent significant at the level of 5% and 1% respectively

2.2 干旱复水下2个品种水稻倒二叶稳定碳同位素组成($\delta^{13}\text{C}$)的差异性

由图1可知,充分供水条件下2个品种水稻抽穗后倒二叶 $\delta^{13}\text{C}$ 值均呈现出先下降至最低值(约于抽穗后13d),后上升至最高值(约于抽穗后17d),再呈下

降趋势。干旱处理下,五丰优T025抽穗后倒二叶 $\delta^{13}\text{C}$ 值大幅上升,干旱处理结束时与对照之间差值达最大,前者高出后者3.56%;复水后表现出下降趋势,但复水后第6天又开始上升。总体上五丰优T025抽穗后倒二叶 $\delta^{13}\text{C}$ 值表现出干旱复水处理高于对照。金优

207 倒二叶 $\delta^{13}\text{C}$ 值表现出干旱处理下大幅下降,且下降幅度大于对照,复水后表现出先上升后下降再上升特点,且整个处理期基本上为干旱复水处理低于对照,至复水后第6天才略高于对照。总体上,五丰优T025较金优207抽穗后干旱复水处理和对照之间倒二叶 $\delta^{13}\text{C}$ 值的波动幅度更大。

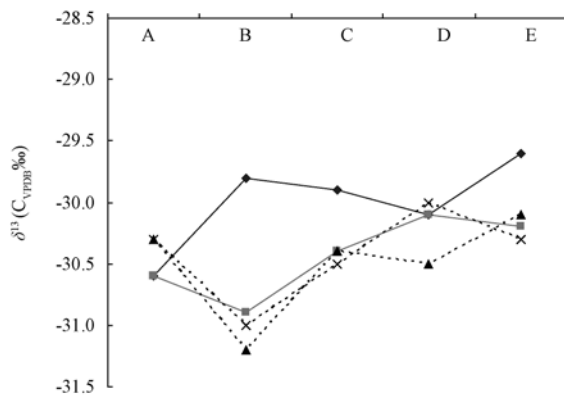


图1 干旱复水处理下2个品种水稻 $\delta^{13}\text{C}$ 动态

Fig. 1 Dynamics of $\delta^{13}\text{C}$ under the treatment of rewatering after drought for the two rice varieties

注:—◆— 五丰优 T025 干旱复水 Rewatering after drought of WufengyouT025; —■— 五丰优 T025CK CK of WufengyouT025; - - - ▲ - - - 金优 207 干旱复水 Rewatering after drought of Jinyou207; - - - × - - - 金优 207CK CK of Jinyou207

下同 The same as below

2.3 干旱复水下2个品种水稻倒二叶内源激素含量的差异性

图2表明,在充分供水条件下,抽穗后随着生育推进,2个品种倒二叶内源ABA含量呈上升趋势,且各期五丰优T025均低于金优207。但在干旱处理下,2个品种上升幅度均显著高于对照,复水后2个品种均表现出先下降后上升特点。干旱处理最后1d,五丰优T025和金优207ABA含量较对照分别上升55.39%和27.70%。图2还显示,五丰优T025抽穗后干旱复水处理倒二叶内源ABA含量波动幅度明显大于金优207。

图3表明,在充分供水条件下,抽穗后随着生育推进,2个品种倒二叶内源IAA含量呈下降趋势,且各个生育期五丰优T025均低于金优207。但干旱复水处理下,2个品种的IAA含量下降幅度均显著高于对照,从2个品种干旱处理与对照间的差距可看出,五丰优T025抽穗后干旱复水处理倒二叶内源IAA含量波动性明显低于金优207。

图4表明,在充分供水条件下,抽穗后随着生育推

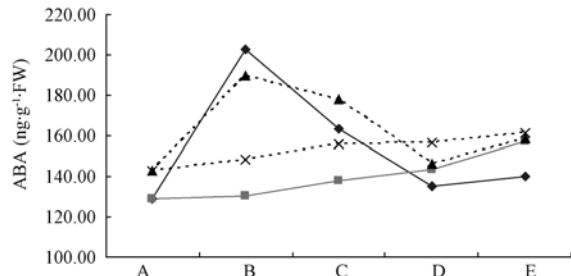


图2 干旱复水处理下2个品种水稻倒二叶ABA动态

Fig. 2 Dynamics of ABA content under the treatment of rewatering after drought in the reciprocal leaf for the two rice varieties

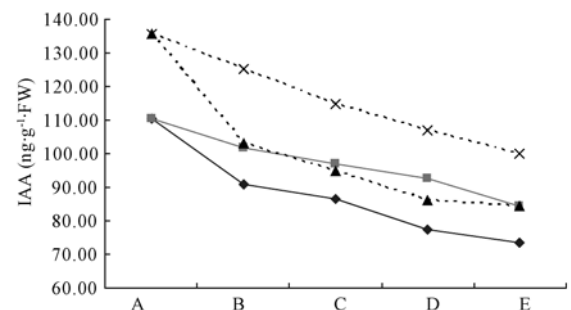


图3 干旱复水处理下2个品种水稻倒二叶IAA动态

Fig. 3 Dynamics of IAA content under the treatment of rewatering after drought in the reciprocal leaf for the two rice varieties

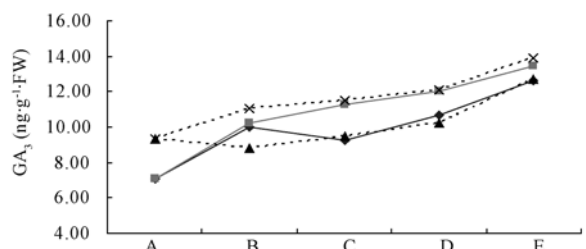


图4 干旱复水处理下2个品种水稻倒二叶GA₃动态

Fig. 4 Dynamics of GA₃ content under the treatment of rewatering after drought in the reciprocal leaf for the two rice varieties

进,2个品种水稻倒二叶内源GA₃含量呈上升趋势,且各生育时期五丰优T025均略低于金优207。但在干旱复水处理下,五丰优T025的GA₃含量表现出先上升后下降,至复水后第2天降至最低值再上升的特点,但各生育时期值均低于对照;而金优207干旱复水下GA₃含量表现出干旱处理结束时急剧下降至最低点,

复水后缓慢上升,但也一直低于充分供水。从2个品种干旱复水处理与对照间的差距看,五丰优T025抽穗后干旱复水处理倒二叶内源GA₃含量波动幅度低于金优207。

从图5可以看出,2个品种水稻干旱复水及对照条件下抽穗后倒二叶ZR含量均呈现出先上升至最高值(约于抽穗后13d),再下降的趋势,且各时期均为干旱复水处理低于对照;相同处理下,五丰优T025倒二叶内源ZR含量低于金优207。从干旱复水处理与对照间的差距来看,总体上,五丰优T025较金优207抽穗后干旱复水和对照间倒二叶ZR含量的波动幅度更小。

上述结果说明2个品种水稻干旱复水处理下其倒二叶4种内源激素的产生与调节方式存在差异。

2.4 干旱复水下2个品种水稻倒二叶内源激素平衡的差异性

内源激素对植物生长发育的调节往往是多种激素

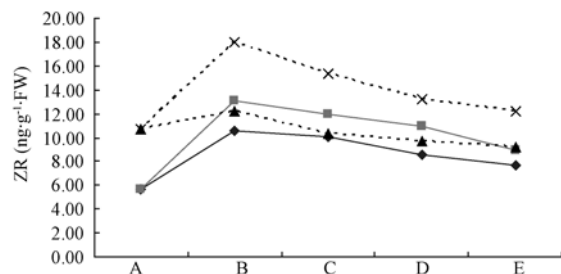


图5 干旱复水处理下2个品种
水稻倒二叶ZR动态

Fig. 5 Dynamics of ZR content under the treatment
of rewatering after drought in the reciprocal
leaf for the two rice varieties

综合作用的结果,这种作用不仅取决于激素本身的浓度,还取决于激素间适当的比例和平衡^[12-14]。

表2 2个品种水稻干旱复水下内源生长促进激素(IAA+ZR+GA₃)与ABA的比值

Table 2 The values between the endogenous growth promoted hormones (IAA + ZR + GA₃) and ABA under the treatment of rewatering after drought for the two rice varieties

品种 Variety	处理 Treatment	干旱前1d One day before drought	干旱最后1d The last day of the drought	复水第2d The second day after rewatering	复水第4d The fourth day after rewatering	复水第6d The sixth day after rewatering
五丰优T025 WufengyouT025	干旱复水 Rewatering after drought	0.95	0.55	0.65	0.71	0.67
	CK	0.95	0.96	0.87	0.80	0.68
金优207 Jinyou207	干旱复水 Rewatering after drought	1.09	0.65	0.64	0.72	0.67
	CK	1.09	1.04	0.91	0.84	0.78

表3 2个品种水稻干旱复水下各内源生长促进激素与ABA的比值

Table 3 The values between the each endogenous growth promoted hormones and ABA under the treatment of rewatering after drought for the two rice varieties.

品种 Variety	处理 Treatment	干旱最后1d The last day of the drought			复水第6天 The sixth day after rewatering		
		IAA/ABA	ZR/ABA	GA ₃ /ABA	IAA/ABA	ZR/ABA	GA ₃ /ABA
五丰优T025 WufengyouT025	干旱复水 Rewatering after drought	0.45	0.05	0.05	0.52	0.06	0.09
	CK	0.78	0.10	0.08	0.54	0.06	0.09
金优207 Jinyou207	干旱复水 Rewatering after drought	0.54	0.06	0.05	0.53	0.06	0.08
	CK	0.84	0.12	0.07	0.62	0.08	0.09

2.4.1 内源生长促进激素(IAA+ZR+GA₃)与ABA的比值 表2表明,水稻抽穗后随着生育进程推进,对照条件下,2个品种水稻倒二叶生长促进类激素总和(IAA+ZR+GA₃)与ABA的比值均呈现下降趋势,各时期五丰优T025比值均高于金优207;而干旱处理下2个品种水稻IAA+ZR+GA₃与ABA的比值均大幅度

下降,复水后上升,但五丰优T025的上升速度快于金优207。这可能与五丰优T025抽穗后干旱复水处理下千粒重下降幅度小于金优207有关。

2.4.2 内源生长促进激素与ABA的比值 抽穗后稻株开始衰老,反映到内源激素平衡上为生长促进类激素与抑制类激素的比值明显下降,但不同产量潜力品

种间存在一定的差异。如表3所示,对照条件下,2个品种水稻生长促进类激素IAA、ZR、GA₃与生长抑制类激素ABA的比值随着生育推进均明显下降,总体上五丰优T025低于同期金优207;干旱条件下,2个品种生长促进类激素IAA、ZR、GA₃与生长抑制类激素ABA的比值均明显低于对照,复水后各生长促进类激素与ABA的比值显著上升,且总体上五丰优T025高于同期金优207。结果说明较高的生长促进类激素与生长抑制类激素比值在水稻后期生长和抗旱防早衰过程中起促进作用。

3 讨论

3.1 水稻抽穗后干旱复水下反弹性生长补偿效应与品种产量稳定性关系

以往研究表明稳产性优的杂交水稻品种产量构成因子大多表现出一定的可塑性^[15]。水分是影响水稻产量稳定性的一个极为重要的栽培环境因子,如前所述,水稻干旱胁迫后复水存在生长补偿效应。生态学上的补偿效应或超补偿效应是指作物受到阈值内的胁迫压力后,在结构和生理水平上产生的一种有利于作物生长发育和产量形成的能力^[16]。不难发现,前人对水稻旱后复水补偿效应的研究多集中于生育前中期,迄今对抽穗后干旱胁迫——恢复供水补偿能力与品种产量稳定性关系如何知之甚少。本研究结果表明,五丰优T025和金优207抽穗后进行干旱8d至土壤发白开裂(应属重度胁迫)后复水处理,2个品种水稻结实率、千粒重及单株产量均表现出不同程度下降,3个指标干旱复水处理与一直保持水层的对照之间差异达显著或极显著水平,双季杂交晚稻抽穗后重度干旱复水处理下未出现产量补偿效应。从单产下降幅度上看,抽穗后干旱复水处理下五丰优T025产量稳定性优于金优207,主要原因是千粒重稳定性更好,但五丰优T025干旱复水下结实率下降幅度大于金优207。说明抽穗后干旱复水补偿效应利用上应注意干旱程度与时期;还应注意的是,结实率是一个受环境因子影响极大的指标,产量性能优的超级稻品种结实率稳定性育种改良与栽培保障尤为重要。

3.2 水稻抽穗后干旱复水对不同产量潜力品种稳定碳同位素组成($\delta^{13}\text{C}$)的影响及其与产量稳定性关系

稳定碳同位素比率($\delta^{13}\text{C}$)是反应叶片长期生长状况的一个较稳定的指标^[17]。稳定性同位素技术是目前国际常用的间接测定植物水分利用效率(WUE)的

方法,Farquhar和Sharkey^[18]提出碳同位素分馏强度($\Delta^{13}\text{C}$)与WUE呈负相关,即碳同位素组成($\delta^{13}\text{C}$)与WUE呈正相关。Jordi等^[19]研究表明大麦叶片 $\delta^{13}\text{C}$ 和WUE呈很强的正相关,并提出测定叶片 $\delta^{13}\text{C}$ 可作为选择高WUE和高产大麦的有效途径。郭鹏等^[20]研究认为在水分充足的情况下 $\delta^{13}\text{C}$ 可作为筛选高水分利用效率黑杨品系的可靠指标。张怡等^[21]研究指出,2个四倍体刺槐品种和普通二倍体刺槐叶片的 $\delta^{13}\text{C}$ 与其WUE有良好的正相关性,可以作为筛选高WUE刺槐品种的指标。本研究表明:干旱期间,不同品种中 $\delta^{13}\text{C}$ 响应水分胁迫的程度不同,五丰优T025水分胁迫期间 $\delta^{13}\text{C}$ 较对照大幅升高,而金优207较对照明显下降。复水后五丰优T025 $\delta^{13}\text{C}$ 先下降后上升,正好与对照的变化趋势相反。复水后金优207 $\delta^{13}\text{C}$ 先上升后下降再上升,对照先上升后下降。干旱期间倒二叶 $\delta^{13}\text{C}$ 较对照的上升幅度上五丰优T025大于金优207,复水后上升幅度差异比较发生了变化。说明干旱及复水期间产量稳定性越好的品种, $\delta^{13}\text{C}$ 较对照的上升幅度越大,但 $\delta^{13}\text{C}$ 与水分利用率及产量形成的关系还需进一步研究。

3.3 水稻抽穗后干旱复水对不同产量潜力品种内源激素的影响及其与产量稳定性关系

研究认为,植物生长发育的基本规律和代谢过程的调节控制与植物的内源激素密切相关^[22-23],激素调节作用由植物内源激素相互协调共同完成,激素间的平衡比单一激素的作用更为重要,这种平衡状态控制核酸蛋白质及可溶性糖等营养物质的代谢,从而影响着植物的生长^[24-27]。本研究表明:抽穗后倒二叶单一生长激素与水稻产量、结实率及千粒重间相关性均未达到显著水平;干旱前1d(抽穗后5d左右)生长促进类激素(IAA+ZR+GA₃)/ABA与结实率、千粒重和单株产量之间呈负相关,而复水后第6天(抽穗后19d左右)生长促进类激素(IAA+ZR+GA₃)/ABA与结实率、千粒重和单株产量之间呈较小正相关,干旱最后1d至复水后第4天生长促进类激素(IAA+ZR+GA₃)/ABA与结实率、千粒重和单株产量之间呈较大正相关,其中复水后第2天生长促进类激素(IAA+ZR+GA₃)/ABA与结实率和单株产量,复水后第4天生长促进类激素(IAA+ZR+GA₃)/ABA与结单株产量间相关均达显著水平,相关系数分别为0.885、0.899和0.885,该结果一方面证实了内源激素相互协调的重要性,另一方面表明双季杂交晚稻灌浆盛期生长促进类激素与生长抑制类激素之间比值保持较高水平的重要性。进一步研究2个品种水稻单一生长促进类激

素与生长抑制类激素之间比值与结实率、千粒重和单株产量之间的相关性分析可发现,干旱最后1d及复水后第6天ZR/ABA与结实率、千粒重和单株产量之间相关系数明显小于IAA/ABA和GA₃/ABA,尤其是GA₃/ABA,干旱最后1d与结实率及复水后第6天与千粒重、单株产量之间的相关性均达显著水平,相关系数分别为0.955**、0.891和0.893。该结果从另一方面说明了抽穗后双季晚稻内源激素平衡性与籽粒结实灌浆间关系的复杂性。

参考文献:

- [1] 朱立宏. 关于我国水稻高产育种的我见[J]. 南京农业大学学报, 2007, 30(1): 129~135
- [2] 梁永超, 胡锋, 杨茂成, 朱遐亮, 王广平, 王永乐. 水稻覆膜旱作高产节水机理研究[J]. 中国农业科学, 1999, 32(1): 26~32
- [3] 山仑. 旱地农业技术发展趋向[J]. 中国农业科学, 2002, 35(7): 848~855
- [4] 郝树荣, 郭相平, 王为木, 张烈君, 王琴, 王青梅. 胁迫后复水对水稻叶面积的补偿效应[J]. 灌溉排水学报, 2005, 24(4): 19~21
- [5] 郝树荣, 郭相平, 王为木, 张烈君, 王琴, 王青梅, 刘展鹏. 水稻分蘖期水分胁迫及复水对根系生长的影响[J]. 干旱地区农业研究, 2007, 25(1): 149~152
- [6] 郝树荣, 郭相平, 张展羽. 水分胁迫及复水对水稻冠层结构的补偿效应[J]. 农业机械学报, 2010, 41(3): 52~55
- [7] 郝树荣, 郭相平, 王为木, 张烈君, 王琴. 水稻拔节期水分胁迫及复水对叶片叶绿体色素的影响[J]. 河海大学学报: 自然科学版, 2006, 34(4): 397~400
- [8] 卢少云, 郭振飞, 彭新湘, 李宝盛, 李明启, 黎用朝. 干旱条件下水稻幼苗的保护酶活性及其与耐旱性关系[J]. 华南农业大学学报, 1997, 18(4): 21~25
- [9] 郭相平, 张烈君, 王琴, 王为木, 郝树荣. 拔节孕穗期水分胁迫对水稻生理特性的影响[J]. 干旱地区农业研究, 2006, 24(2): 125~129
- [10] 刘宇锋, 高国庆, 李道远. 干旱胁迫下不同水稻品种相关生理生化特性比较[J]. 广西农业科学, 2008, 39(4): 456~460
- [11] 袁静, 蒋新会, 黄锦珠, 章二子. 水稻拔节孕穗期旱涝急转对其生理特性的影响[J]. 水利科技与经济, 2008, 14(4): 259~262
- [12] 唐祈林, 荣廷昭. 玉米秃尖与内源激素的关系[J]. 核农学报, 2007, 21(4): 366~368
- [13] 王兴, 薛建平, 张爱民. 遮荫对半夏块茎鲜重及其内源激素含量的影响[J]. 核农学报, 2008, 22(4): 514~518
- [14] 库文珍, 彭克勤, 萧浪涛, 张雪芹, 沈志锦, 黄欣. 低钾胁迫对不同基因型水稻苗期根系生长和内源激素含量的影响[J]. 亚热带植物科学, 2008, 37(1): 21~24
- [15] 刘文江, 汪旭东, 周开达, 李浩杰. 广适性杂交水稻的性状特征研究[J]. 四川农业大学学报, 2000, 18(2): 137~140
- [16] 赵明, 李建国, 张宾, 董志强, 王美云. 论作物高产挖潜的补偿机制[J]. 作物学报, 2006, 32(10): 1566~1573
- [17] 林植芳, 林桂珠, 孔国辉, 张鸿彬. 亚热带自然林两种木本植物稳定碳同位素比值、胞间CO₂浓度和水分利用效率的生长辐射效应[J]. 热带亚热带植物学报, 1995, 3(2): 77~82
- [18] Farquhar G D, Sharkey T D. Stomatal conductance and photosynthesis [J]. Annual Review of Plant Physiology, 1982, 33: 317~345
- [19] Jordi V, Luis S, Montserrat H, Jesus P. Carbon isotope discrimination, gas exchange and stem growth of four Euramerican hybrid poplars under different watering regimes [J]. New Forests, 2006, 31: 435~451
- [20] 郭鹏, 邢海涛, 夏新莉, 尹伟伦. 3个新引进黑杨无性系间水分利用效率差异性研究[J]. 北京林业大学学报, 2011, 33(2): 19~24
- [21] 张怡, 罗晓芳, 沈应柏. 干旱胁迫下四倍体刺槐幼苗水分利用效率及稳定碳同位素组成的研究[J]. 西北植物学报, 2009, 29(7): 1460~1464
- [22] 梁建生. ABA对高等植物基因表达的作用[J]. 植物生理学通讯, 1991, 27(2): 230~233
- [23] 夏涛, 刘纪麟. 生长素和玉米素与玉米细胞质雄性不育性关系的研究[J]. 作物学报, 1994, 20(1): 26~32
- [24] 袁媛, 杨文钰. 遮荫对野生大百合叶片内源激素含量的影响[J]. 北方园艺, 2007, (8): 123~125
- [25] 张自常, 段华, 杨立年, 王志琴, 杨建昌. 水稻育苗移栽旱种方式对米质的影响及其与籽粒激素浓度的关系[J]. 中国农业科学, 2008, 41(5): 1297~1307
- [26] 方良俊, 符小琴, 叶群珊, 张星福, 符垂康. 诱抗剂对水稻幼苗耐盐性的诱导作用[J]. 核农学报, 2006, 20(4): 273~276
- [27] 郝再彬, 苍晶, 孙鑫. 水稻无侧根突变体RM109的氧化还原代谢[J]. 核农学报, 2002, 16(4): 193~196